

УДК 536.2

## МОДЕЛИРОВАНИЕ ТЕПЛОФИЗИЧЕСКИХ ПРОЦЕССОВ ПРИ НАНЕСЕНИИ ПОЛУПРОЗРАЧНОГО ПОКРЫТИЯ НА ОХЛАЖДАЕМУЮ КРИВОЛИНЕЙНУЮ ПОДЛОЖКУ

© 2022 г. Г. Н. Кувыркин, И. Ю. Савельева, А. В. Журавский\*

*Московский государственный технический университет им. Н.Э. Баумана, Москва, Россия*

\*E-mail: zhuravskii\_a@bmsu.ru

Поступила в редакцию 13.05.2021 г.

После доработки 10.06.2021 г.

Принята к публикации 28.09.2021 г.

Построена модель теплообмена при осаждении полупрозрачного материала на охлаждаемую криволинейную подложку. В модели учтены все основные теплофизические процессы: конвективный теплообмен, тепло- и массоперенос при осаждении частиц на подложку, а также теплообмен излучением с учетом оптических свойств наносимого полупрозрачного покрытия. Для разработанной математической модели приведено численное решение, позволяющее получить распределение температуры по толщине подложки и покрытия в любой момент времени. Представлены и проанализированы результаты численного расчета с использованием построенного вычислительного алгоритма. Выявлено влияние формы подложки и скорости осаждения на распределение температуры в покрытии. Показана зависимость температуры наращиваемого покрытия от его оптических характеристик. Проведено сравнение результатов моделирования с известными экспериментальными данными.

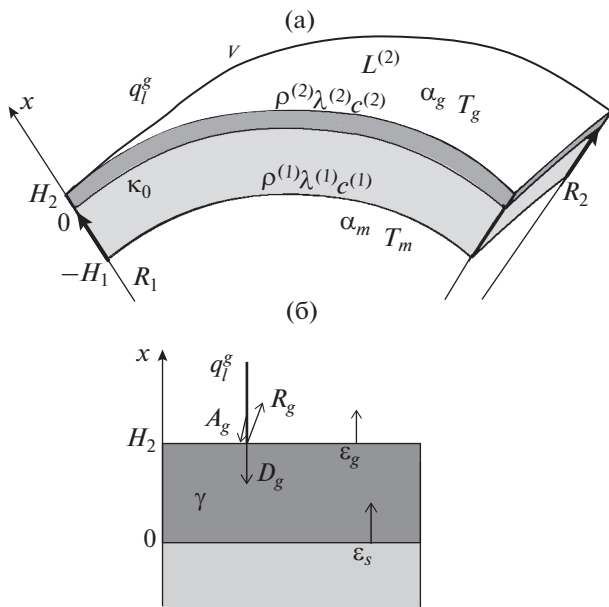
DOI: 10.31857/S0040364422020120

### ВВЕДЕНИЕ

Газофазное осаждение является одной из аддитивных технологий и представляет собой нанесение покрытия на охлаждаемую поверхность путем осаждения материала покрытия из газовой фазы в результате физических или химических процессов [1]. Процесс газофазного осаждения проводится в вакууме или в атмосфере рабочего газа при достаточно низком давлении. По сравнению с традиционными методами нанесения покрытий газофазное осаждение обладает такими преимуществами, как возможность изготовления изделий произвольно сложной формы без создания специальной технологической оснастки и эффективность использования осаждаемого сырья. Изначально метод применялся для осаждения чистых металлов из их паров в вакууме. В настоящее время метод получил широкое развитие и активно используется для нанесения покрытий различной структуры, в том числе и многослойной. Важно отметить, что физические свойства полученных композиций существенно отличаются как от характеристик исходных материалов [2], так и от характеристик покрытий, наносимых традиционными методами. Газофазный метод позволяет получать материалы и покрытия без структурных дефектов, которые оказывают значительное влияние на теплофизические характеристики, как показано в работе [3]. Поэтому технология га-

зофазного осаждения получила широкое распространение в тех отраслях промышленности, в которых требуется нанесение максимально однородных и качественных покрытий.

Одной из важных областей применения газофазных методов является нанесение различных оптических пленок, так как высокая однородность получаемых покрытий позволяет свести к минимуму их дефекты. В работах [4, 5] рассмотрено химическое осаждение из паровой фазы тонких пленок оксида цинка, проведено исследование оптических свойств полученных покрытий различными методами. Многие работы посвящены исследованию теплообмена в полученных, в том числе и газофазным методом, многослойных композитах. В [6] изучены тепловые процессы в многослойном композите с учетом анизотропии материала. В [7] температурное состояние многослойного композита рассмотрено с учетом сложного теплообмена на свободной границе. Моделированию и анализу процессов осаждения посвящены работы [8–10]. В [8] исследуются свойства полученных магнетронным напылением покрытий. В [9] рассмотрено формирование металлических кластеров при осаждении из паровой фазы. В [10] представлен процесс осаждения покрытия, проведено сравнение теоретических данных с результатами эксперимента.



**Рис. 1.** Нарастаемая криволинейная подложка толщиной  $H_1$ , на которую наносится покрытие толщиной  $H_2$  – (а) и (б) – излучение газа, падающее на поверхность подложки (поглощенное, пропущенное, отраженное), и излучение подложки.

Свойства полученных газофазным методом покрытий зависят не только от свойств исходных материалов, но и от условий нанесения. Оптические и механические характеристики полученных изделий могут существенно отличаться в зависимости от метода и условий осаждения. Поэтому возникает необходимость в создании новых математических моделей, описывающих процесс газофазного осаждения с учетом всех наиболее существенных особенностей процесса.

Во многих работах этого направления, как правило, не учтены особенности теплообмена газа с поверхностью, в то время как температура поверхности, на которой происходит осаждение, является одним из основополагающих факторов, определяющих структуру пленки. В работе [11] приведены граничные условия, наиболее полно соответствующие реальному процессу осаждения на криволинейную подложку для локальной модели теплопроводности. В [12] учтено влияние диффузионных процессов на распределение температуры в подложке. В данной работе составлена математическая модель осаждения на подложку полупрозрачного покрытия и рассмотрено влияние оптических свойств материала на распределение температуры.

**МАТЕМАТИЧЕСКАЯ МОДЕЛЬ**

Рассматривается криволинейная подложка (рис. 1) толщиной  $H_1$  и главными радиусами

кривизны поверхности  $R_1, R_2$ , на поверхность которой осаждается из газовой фазы полупрозрачный материал с постоянной скоростью  $v$ , создавая покрытие толщиной  $H_2 = H_2(t) = vt$ . Принято допущение о постоянстве температур газа  $T_m$  и охлаждающей среды  $T_g$ .

Вводится криволинейная ортогональная система координат так, чтобы ось  $Ox$  была направлена по нормали к поверхности подложки. Начало координат  $x = 0$  соответствует внешней поверхности подложки в начальный момент времени.

На внутренней поверхности подложки  $x = -H_1$  происходит конвективный теплообмен с охлаждающей средой. На внешней поверхности  $x = H_2(t)$  из-за высокой температуры газа необходимо помимо конвективного теплообмена и тепло- и массопереноса учитывать теплообмен излучением, причем излучает как газ, так и поверхность, на которую осаждается материал. Так как наносимое покрытие является полупрозрачным, то излучение газа  $q_g^s$ , падающее на подложку, распадается на поглощенное, пропущенное и отраженное с коэффициентами  $A_g, D_g, R_g$  соответственно, причем  $A_g + D_g + R_g = 1$ . В силу принятых допущений переизлучение, связанное с отражением теплового потока в газовую среду, не учитывается.

Принимается гипотеза идеального теплового контакта между подложкой и полупрозрачным покрытием, имеющими, в общем случае, различную теплопроводность  $\lambda^{(k)}$  ( $k = 1$  для подложки,  $k = 2$  для покрытия). В точке контакта также необходимо учесть излучение материала подложки  $\epsilon_s \sigma_0 T_c^4$  в полупрозрачную среду. Здесь  $\epsilon_s$  – коэффициент излучения подложки;  $T_c = T_c(t) = T(t, 0)$  – температура в точке контакта.

Для тонкостенной подложки справедливо уравнение теплопроводности [13]

$$c^{(k)} \rho^{(k)} \frac{\partial T}{\partial t} = - \frac{\partial q^{(k)}}{\partial x} - 2\kappa(x)q^{(k)}, \tag{1}$$

где  $c^{(k)}$  – удельная массовая теплоемкость,  $\rho^{(k)}$  – плотность,  $T = T(t, x)$  – температура,  $t$  – время,  $x$  – координата,  $q^{(k)}$  – проекция вектора плотности теплового потока на ось  $Ox$ .

Уравнение (1) справедливо для материала подложки ( $k = 1$ ) и наносимого покрытия ( $k = 2$ ) при условии, что толщина подложки значительно меньше радиуса кривизны  $H_1 \ll |1/\kappa(x)|$ . В этом случае можно принять среднюю кривизну эквидистантного сечения подложки постоянной по толщине:

$$\kappa(x) \approx \kappa(0) = \kappa_0 = (1/R_1 + 1/R_2)/2. \tag{2}$$

Тепловой поток в подложке находится по закону Фурье

$$q^{(1)} = -\lambda^{(1)} \frac{\partial T}{\partial x}. \tag{3}$$

В тепловом потоке в полупрозрачном покрытии учитываются теплопроводность и лучистый тепловой поток, который изменяется по толщине покрытия по закону Бугера [14], причем излучает как газ, так и поверхность подложки:

$$q^{(2)} = -\lambda^{(2)} \frac{\partial T}{\partial x} - D_g q_l^g \exp(-\gamma(H_2 - x)) + \varepsilon_s \sigma_0 T_c^4 \exp(-\gamma x), \tag{4}$$

где  $\gamma$  – показатель поглощения полупрозрачного покрытия.

Учитывая (1)–(4), получаем уравнения теплопроводности для подложки и покрытия

$$\begin{cases} c^{(1)} \rho^{(1)} \frac{\partial T}{\partial t} = \frac{\partial}{\partial x} \left( \lambda^{(1)} \frac{\partial T}{\partial x} \right) + 2\kappa_0 \left( \lambda^{(1)} \frac{\partial T}{\partial x} \right); \\ x \in (-H_1, 0); \quad c^{(2)} \rho^{(2)} \frac{\partial T}{\partial t} = \\ = \frac{\partial}{\partial x} \left( \lambda^{(2)} \frac{\partial T}{\partial x} + D_g q_l^g \exp(-\gamma(H_2 - x)) - \varepsilon_s \sigma_0 T_c^4 \exp(-\gamma x) \right) + \\ + 2\kappa_0 \left( \lambda^{(2)} \frac{\partial T}{\partial x} + D_g q_l^g \exp(-\gamma(H_2 - x)) - \varepsilon_s \sigma_0 T_c^4 \exp(-\gamma x) \right); \quad x \in (0, H_2). \end{cases} \tag{5}$$

Для системы (5) условие теплового контакта представляется в виде

$$\begin{cases} T(t, 0 - 0) = T(t, 0 + 0); \\ \lambda^{(1)} \frac{\partial T}{\partial x} \Big|_{x=0-0} = \\ = \left( \lambda^{(2)} \frac{\partial T(x)}{\partial x} + D_g q_l^g \exp(-\gamma H_2) - \varepsilon_s \sigma_0 T_c^4 \right) \Big|_{x=0+0}. \end{cases} \tag{6}$$

Граничные условия:

$$\begin{cases} \lambda^{(1)} \frac{\partial T}{\partial x} \Big|_{x=-H_1} = \alpha_m (T(t, -H_1) - T_m); \\ \lambda^{(2)} \frac{\partial T(x)}{\partial x} \Big|_{x=H_2} = \alpha_g (T_g - T(t, H_2)) - \\ - \varepsilon_g \sigma_0 T^4(t, H_2) + A_g q_l^g + \\ + c^{(2)} \rho^{(2)} \nu (T_g - T(t, H_2)) + \rho^{(2)} \nu L^{(2)}, \end{cases} \tag{7}$$

где  $\varepsilon_g$  – коэффициент излучения покрытия;  $L^{(2)}$  – удельная теплота фазового перехода для осаждае-

мого вещества;  $\alpha_g, \alpha_m$  – коэффициенты конвективного теплообмена газа с поверхностью подложки и подложки с охлаждающей средой.

Распределение температуры в подложке в начальный момент времени можно получить решением стационарного уравнения теплопроводности для неподвижных границ при отсутствии осаждения вещества:

$$\begin{cases} \frac{d}{dx} \left( \lambda^{(1)} \frac{dT_0}{dx} \right) + 2\kappa_0 \lambda^{(1)} \frac{dT_0}{dx} = 0; \quad x \in (-H_1, 0); \\ \lambda^{(1)} \frac{dT_0}{dx} \Big|_{x=-H_1} = \alpha_m (T_0(-H_1) - T_m); \\ \lambda^{(2)} \frac{dT_0}{dx} \Big|_{x=0} = \alpha_g (T_g - T_0(0)) - \varepsilon_g \sigma_0 T_0^4(0) + A_g q_l^g. \end{cases} \tag{8}$$

В результате решения системы (8) получается начальное распределение температуры  $T_0(x)$  в подложке.

### ЧИСЛЕННОЕ РЕШЕНИЕ

Численный алгоритм решения уравнения теплопроводности (5) с граничными условиями (6), (7) построен с использованием интегро-интерполяционного метода [15–17]. Сетка по пространству вводится таким образом, что за каждый промежуток времени  $\tau$  на внешнюю сторону подложки наносится слой вещества толщиной  $h_2 = \nu \tau$ :

$$\begin{aligned} \omega_h = \{x_i = -H + ih_1, \quad i = 0 \dots N_1, \quad h_1 = H/N_1; \\ x_i = (i - N_1)h_2, \quad i = N_1 + 1 \dots N_1 + N_2, \quad h_2 = \nu \tau\}. \end{aligned}$$

Проинтегрируем первое уравнение системы (5) на отрезке  $[x_{i-1/2}, x_{i+1/2}]$  по пространству и  $[t_j, t_{j+1}]$  по времени (здесь  $t_{j+1} - t_j = \tau$ ). Перейдем от непрерывной функции  $T(t, x)$  к сеточной  $u_i^j$ . Введем обозначения  $u = u_i^j, \hat{u} = u_i^{j+1}, \hat{u}_+ = u_{i+1}^{j+1}, \hat{u}_- = u_{i-1}^{j+1}$ . Обозначим  $u_c = u_{N_1}^j$  и  $u_g = u_{N_1+N_2}^j$  температуру контакта двух сред и температуру внешней поверхности покрытия, контактирующей с газовой средой, соответственно. Толщина покрытия вычисляется на каждом шаге по формуле  $H_2 = \nu \tau N_\tau$ , ( $N_\tau$  – число шагов по времени).

После интегрирования первого уравнения системы (5) получаем

$$\begin{aligned} c^{(1)} \rho^{(1)} \frac{\hat{u}_i - u_i}{h_1} \tau = \\ = \left( \lambda^{(1)} \frac{\hat{u}_+ - \hat{u}}{h_1} - \lambda^{(1)} \frac{\hat{u} - \hat{u}_-}{h_1} \right) + 2\kappa_0 \lambda^{(1)} \left( \frac{\hat{u}_+ - \hat{u}_-}{2} \right)_i. \end{aligned}$$

Второе уравнение системы (5) имеет следующий разностный аналог:

$$c^{(2)}\rho^{(2)}\frac{\hat{u}_i - u_i}{\tau}h_2 = \lambda^{(2)}\left(\frac{\hat{u}_+ - \hat{u}}{h_2}\right)_i - \lambda^{(2)}\left(\frac{\hat{u} - \hat{u}_-}{h_2}\right)_i + D_g q_i^g \times (\exp(-\gamma(H_2 - x_{i+1/2})) - \exp(-\gamma(H_2 - x_{i-1/2}))) - \varepsilon_s \sigma_0 \hat{u}_c^4 (\exp(-\gamma x_{i+1/2}) - \exp(-\gamma x_{i-1/2})) + 2\kappa_0 \left(\lambda^{(2)}\left(\frac{\hat{u}_+ - \hat{u}_-}{2}\right) + (D_g q_i^g \exp(-\gamma(H_2 - x_i)) - \varepsilon_s \sigma_0 \hat{u}_c^4 \exp(-\gamma x_i))h_2\right).$$

Данная разностная схема является нелинейной из-за слагаемого, содержащего  $\hat{u}_c^4$ . Для упрощения численных расчетов разностную схему можно линеаризовать следующим образом [14]:

$$\hat{u}_c^4 \approx u_c^4 + 4u_c^3(\hat{u}_c - u_c) = u_c^4 + 4u_c^3\hat{u}_c - 4u_c^4 = u_c^3(4\hat{u}_c - 3u_c). \tag{9}$$

Такая линеаризация применима на поздних этапах расчета, когда температура выходит на стационарное значение и слабо зависит от времени. На начальных этапах обычно требуется построение внутреннего итерационного процесса.

Аппроксимация условия идеального теплового контакта [16] такова:

$$\left(c^{(1)}\rho^{(1)}\frac{h_1}{2} + c^{(2)}\rho^{(2)}\frac{h_2}{2}\right)\frac{\hat{u}_{N_1} - u_{N_1}}{\tau} = \lambda^{(2)}\left(\frac{\hat{u}_+ - \hat{u}}{h_2}\right)_{N_1} - \lambda^{(1)}\left(\frac{\hat{u} - \hat{u}_-}{h_1}\right)_{N_1} + D_g q_i^g \exp(-\gamma(H_2 - x_{N_1+1/2})) - \varepsilon_s \sigma_0 \hat{u}_c^4 \exp(-\gamma x_{N_1+1/2}) + 2\kappa_0 \left(\lambda^{(1)}\left(\frac{\hat{u} - \hat{u}_-}{2}\right)_{N_1} + \lambda^{(2)}\left(\frac{\hat{u}_+ - \hat{u}}{2}\right)_{N_1} + (D_g q_i^g \exp(-\gamma H_2) - \varepsilon_s \sigma_0 \hat{u}_c^4)\frac{h_2}{2}\right). \tag{10}$$

Аппроксимация левого граничного условия:

$$c^{(1)}\rho^{(1)}\frac{\hat{u}_0 - u_0}{\tau}\frac{h_1}{2} = \left(\lambda^{(1)}\frac{\hat{u}_1 - \hat{u}_0}{h_1} - \alpha_m(\hat{u}_0 - T_m)\right) + 2\kappa_0\lambda^{(1)}\frac{\hat{u}_1 - \hat{u}_0}{2}.$$

При построении разностной схемы для аппроксимации правого граничного условия важно обратить внимание на две сложности: нелинейность по температуре из-за учета излучения подложки и движение границы покрытия:

$$c^{(2)}\rho^{(2)}\frac{\hat{u}_{N_1+N_2} - u_g}{\tau}h_2 = \alpha_g(T_g - \hat{u}_{N_1+N_2}) - \varepsilon_g \sigma_0 \hat{u}_g^4 + A_g q_i^g + c^{(2)}\rho^{(2)}v(T_g - \hat{u}_{N_1+N_2}) - \lambda^{(2)}\left(\frac{\hat{u} - \hat{u}_-}{h_2}\right)_{N_1+N_2} + 2\kappa_0\lambda^{(2)}\left(\frac{\hat{u} - \hat{u}_-}{2}\right)_{N_1+N_2} + D_g q_i^g (1 - \exp(-\gamma(H_2 - x_{N_1+N_2-1/2}))) - \varepsilon_s \sigma_0 \hat{u}_c^4 (\exp(-\gamma H_2) - \exp(-\gamma x_{N_1+N_2-1/2})) + 2\kappa_0 \left(\lambda^{(2)}\left(\frac{\hat{u} - \hat{u}_-}{2}\right)_{N_1+N_2} + (D_g q_i^g - \varepsilon_s \sigma_0 \hat{u}_c^4 \exp(-\gamma H_2))\frac{h_2}{2}\right). \tag{11}$$

В нелинейных слагаемых  $\hat{u}_c^4$  в формулах (10), (11) используется приближение (9).

В качестве  $\hat{u}_g^4$  можно взять приближение, аналогичное приближению (9):

$$\hat{u}_g^4 \approx u_{N_1+N_2-1}^4 + 4u_{N_1+N_2-1}^3(\hat{u}_g - u_{N_1+N_2-1}) = u_{N_1+N_2-1}^3(4\hat{u}_g - 3u_{N_1+N_2-1}).$$

В растущей сетке на предыдущем временном слое не существует точки  $u_g = u_{N_1+N_2}$ , поэтому любой вариант выбора соответствующей точки в формуле (11) приведет к появлению условной аппроксимации. Так, выбор  $u_g = u_{N_1+N_2-1}$  приведет к появлению в порядке аппроксимации члена вида  $O(h_2/\tau) = O(v)$ . Если в качестве  $u_g$  взять  $2u_{N_1+N_2-1} - u_{N_1+N_2-2}$  или  $3u_{N_1+N_2-1} - 3u_{N_1+N_2-2} + u_{N_1+N_2-3}$ , то к порядку аппроксимации добавятся слагаемые  $O(h_2^2/\tau) = O(h_2v)$  или  $O(h_2^3/\tau) = O(h_2^2v)$  соответственно.

### РЕЗУЛЬТАТЫ РАСЧЕТОВ

Рассмотрим задачу осаждения покрытия оксида цинка на стальную подложку. Исходные данные задачи [18, 19]:

$$\begin{aligned} \rho^{(1)} &= 7800 \text{ кг/м}^3, \quad \rho^{(2)} = 5600 \text{ кг/м}^3; \\ c^{(1)} &= 460 \text{ Дж/(кг К)}, \quad c^{(2)} = 500 \text{ Дж/(кг К)}; \\ \lambda^{(1)} &= 22.4 \text{ Вт/(м К)}, \quad \lambda^{(2)} = 54.0 \text{ Вт/(м К)}; \\ \kappa_0 &= 1 \text{ м}^{-1}; \quad \alpha_m = 53 \text{ Вт/(м}^2 \text{ К)}, \\ \alpha_g &= 72 \text{ Вт/(м}^2 \text{ К)}; \quad H_1 = 0.005 \text{ м}, \\ v &= 10^{-7} \text{ м/с}, \quad L^{(2)} = 2 \times 10^6 \text{ Дж/кг}, \\ q_i^g &= 4 \times 10^4 \text{ Вт/м}^2; T_m = 300 \text{ К}, \quad T_g = 1400 \text{ К}; \\ \varepsilon_g &= 0.3, \quad D_g = 0.9, \\ A_g &= 0.1, \quad \gamma = 10^3 \text{ м}^{-1}, \quad \varepsilon_s = 0.3. \end{aligned}$$

На рис. 2 представлено распределение температуры в подложке при различных значениях средней кривизны. Результаты численного расчета показы-

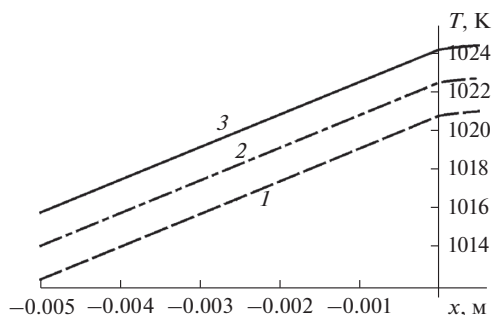


Рис. 2. Распределение температуры по толщине подложки на момент времени  $t = 5 \times 10^3$  с при различной средней кривизне: 1 –  $\kappa_0 = -1$ , 2 – 0, 3 – 1.

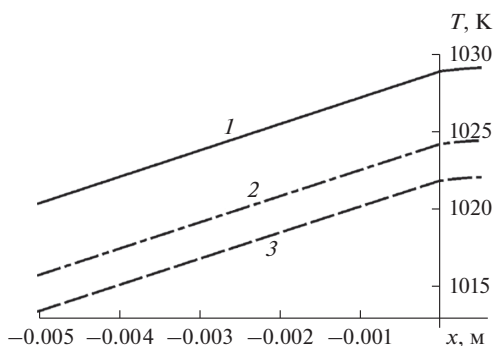


Рис. 3. Распределение температуры по толщине подложки для различных скоростей осаждения: 1 –  $v = 2 \times 10^{-7}$  м/с,  $t = 2.5 \times 10^3$  с; 2 –  $10^{-7}$ ,  $5 \times 10^3$ ; 3 –  $5 \times 10^{-8}$ ,  $10^4$ .

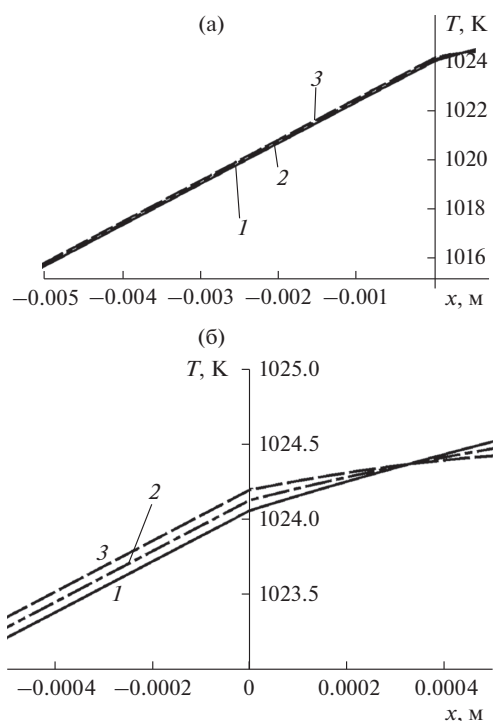


Рис. 4. Распределение температуры по толщине подложки (а) при различных коэффициентах пропускания и поглощения ( $A_g = 1 - D_g$ ): 1 –  $D_g = 0.1$ , 2 – 0.5, 3 – 0.9; (б) – увеличенный фрагмент графика.

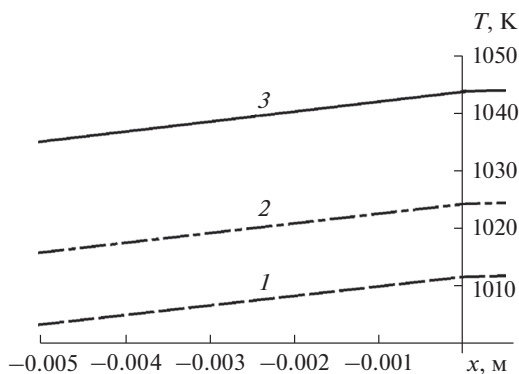


Рис. 5. Распределение температуры по толщине подложки при различных значениях натурального показателя поглощения покрытия: 1 –  $\gamma = 5 \times 10^2$  м<sup>-1</sup>, 2 –  $10^3$ , 3 –  $2 \times 10^3$ .

вают, что температура в подложке возрастает с увеличением положительной средней кривизны  $\kappa_0$ .

На рис. 3 приведена зависимость температуры подложки и покрытия от различных скоростей осаждения  $v$ . Из графика видно, что большая скорость наращивания приводит к существенному увеличению температуры во всей заготовке.

Рассмотрим влияние оптических характеристик материала осаждаемого покрытия на распределение температуры.

На рис. 4 показано значение температуры в подложке при различных значениях коэффициентов пропускания  $D_g$  и поглощения  $A_g$  теплового излучения газовой среды. Градиент температуры в покрытии уменьшается с увеличением коэффициента пропускания. Можно сделать вывод, что полупрозрачное покрытие благодаря теплообмену излучением нагревается равномернее.

На рис. 5 показано значение температуры в подложке при различных значениях натурального показателя поглощения покрытия. Как видно из рисунка, большему показателю поглощения соответствует более высокая температура покрытия.

Рис. 6 демонстрирует результаты расчета для различных коэффициентов излучения подложки.

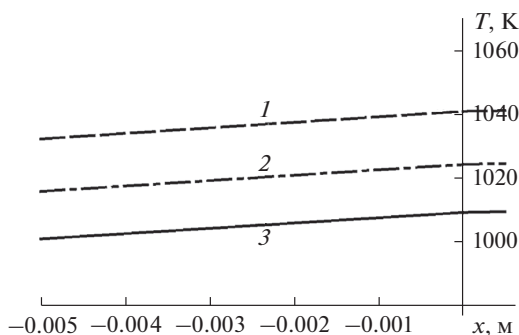


Рис. 6. Распределение температуры по толщине подложки при различных значениях коэффициента излучения подложки: 1 –  $\epsilon_s = 0.2$ , 2 – 0.3, 3 – 0.4.

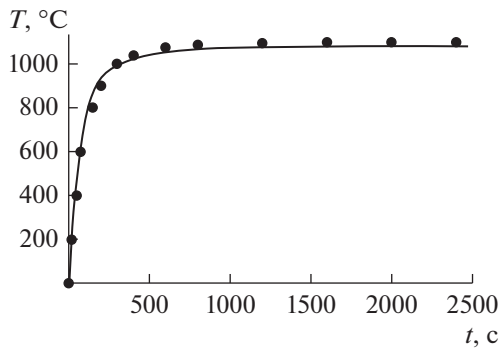


Рис 7. Температура поверхности покрытия YSZ на подложке из Inconel 718; точки — экспериментальные результаты из [20].

Увеличение интенсивности излучения подложки приводит к уменьшению температуры подложки. Оптические характеристики материала подложки также оказывают существенное влияние на распределение температуры.

В заключение приводится сравнение результатов численного моделирования с известными экспериментальными данными. На рис. 7 представлены результаты моделирования нанесения покрытия YSZ (иттрий-стабилизированного диоксида циркония) на подложку из Inconel 718 (никель-хромового сплава). Показана температура подвижной границы покрытия ( $x = vt$ ) в различные моменты времени. Результаты численного моделирования согласуются с экспериментальными данными.

### ЗАКЛЮЧЕНИЕ

Температурное поле в подложке, на которую наносится полупрозрачное покрытие, зависит от геометрии подложки, скорости осаждения, а также от термодинамических и оптических свойств материалов покрытия и подложки. Различные доли пропускаемого и поглощаемого излучения влияют на перепад температуры в покрытии. Показатель поглощения излучения оказывает существенное влияние на распределение температуры в покрытии и подложке. Излучение подложки также существенно влияет на результаты расчетов.

Работа выполнена в рамках гранта РФФИ № 19-38-90178 и в рамках госзадания Министерства науки и высшего образования РФ (проект 0705-2020-0032).

### СПИСОК ЛИТЕРАТУРЫ

1. Андриевский Р.А., Рагуля А.В. Наноструктурные материалы. М.: Академия, 2005. 192 с.
2. Пул Ч., Оуэнс Ф. Нанотехнологии. М.: Техносфера, 2005. 336 с.
3. Лугуева Н.В., Лугуев С.М. Влияние дефектов структуры на теплопроводность поликристаллов ZnS, ZnSe, CdTe // ТВТ. 2004. Т. 42. № 1. С. 58.
4. Nebatti A., Pflitsch C., Curdis B., Atakan B. Using the Acetylacetonates of Zinc and Aluminium for the

Metalorganic Chemical Vapour Deposition of Aluminium Doped Zinc Oxide Films // Mater. Sci. Semicond. Proc. 2015. V. 39. P. 467.

5. Romero-Gómez P., Toudert J., Sánchez-Valencia J.R., Borrás A., Barranco A., Gonzalez-Elise A.R. Tunable Nanostructure and Photoluminescence of Columnar ZnO Films Grown by Plasma Deposition // J. Phys. Chem. C. 2010. V. 114. № 49. P. 20932.
6. Формалев В.Ф., Колесник С.А., Чинашвили А.А. Численное моделирование теплопереноса в анизотропных телах с разрывными характеристиками // Матем. моделирование. 2004. Т. 16. № 5. С. 94.
7. Формалев В.Ф., Колесник С.А., Миканев С.В. Моделирование теплового состояния композиционных материалов // ТВТ. 2003. Т. 41. № 6. С. 935.
8. Костановский А.В., Пронкин А.А., Кириченко А.Н. Формирование тонкой пленки, содержащей  $\alpha$ -карбин, при магнетронном распылении графитовой мишени и воздействии внешнего источника фотоактивации // ТВТ. 2013. Т. 51. № 5. С. 787.
9. Воронцов А.Г., Коренченко А.Е., Гельчинский Б.Р. Анализ стабильности малых металлических кластеров при конденсации паров металла // ТВТ. 2019. Т. 57. № 3. С. 404.
10. Картушинский А.И., Крупенский И.А., Тислер С.В., Хусаинов М.Т., Щеглов И.Н. Осаждение твердых частиц в ламинарном пограничном слое на плоской пластине // ТВТ. 2009. Т. 47. № 6. С. 927.
11. Кувыркин Г.Н., Журавский А.В., Савельева И.Ю. Математическое моделирование газофазного осаждения материала на криволинейную поверхность // ИФЖ. 2016. Т. 89. № 6. С. 1392.
12. Kuvyrkin G.N., Savel'eva I. Yu., Zhuravsky A.V. Numerical Modelling of Vapor-phase Epitaxy with Allowance for Diffusion Processes // Mathematical Models and Computer Simulations. 2018. V. 10. № 3. P. 229.
13. Кувыркин Г.Н. Термомеханика деформируемого твердого тела при высокоинтенсивном нагружении. М.: Изд-во МГТУ, 1993. 145 с.
14. Галанин М.П., Савенков Е.Б. Методы численного анализа математических моделей. 2-е изд. М.: Изд-во МГТУ им. Н.Э. Баумана, 2018. 592 с.
15. Макаров А.Н. Теория и практика теплообмена в электродуговых и факельных печах, топках, камерах сгорания. Ч. 1. Основы теории теплообмена излучением в печах и топках. Тверь: ТГТУ, 2007. 184 с.
16. Рябенский В.С. Введение в вычислительную математику. М.: Наука, 1994. 336 с.
17. Самарский А.А. Теория разностных схем. М.: Наука, 1977. 656 с.
18. <http://libmetal.ru/> (дата обращения: 12.04.2017).
19. Головчук В.И., Гумаров А.И., Бумай Ю.А. Модификация оптических свойств оксида цинка имплантацией ионов кобальта. В кн.: Взаимодействие излучений с твердым телом — Interaction of Radiation with Solids. Матер. 12-й Международ. конф. Минск, Беларусь, 19–22 сент. 2017 г. / Под ред. Углова В.В. и др. Минск: Изд. центр БГУ, 2017. С. 225.
20. Zhe Lu, Guanlin Lyu, Abhilash Gulhane, Hyeon-Myeong Park, Jun Seong Kim, Yeon-Gil Jung, Jing Zhang. Experimental and Modeling Studies of Bond Coat Species Effect on Microstructure Evolution in EB-PVD Thermal Barrier Coatings in Cyclic Thermal Environments // Coatings. 2019. V. 9. № 10. 626.